交泰丸对高脂饮食诱导肥胖小鼠血脑屏障损伤的影响及机制研究

敏, 娜, 王啸南, 琳, 胡 钟霄毓, 林 敏, 晖. 雄* 袁 姜 逸, 陆 (上海中医药大学科技实验中心细胞生物与组织病理学实验室,上海 201203)

摘要:目的 研究交泰丸对高脂饮食诱导的肥胖小鼠大脑皮质血脑屏障的影响。方法 将小鼠随机分为正常组(15 只)和造模组(45只),高脂饮食喂养8周进行造模,以造模组体质量平均值高出正常组体质量的20%,视为小鼠肥 胖模型建立成功。将造模成功的小鼠随机分为模型组、交泰丸组和阳性药组 (二甲双胍), 每组 15 只。给药 4 周后检 测体质量及空腹血糖(FBG)水平,免疫荧光检测大脑皮质中紧密连接蛋白 Claudin-5、ZO-1 以及血管外渗 IgG 的表 达;分离大脑皮质血管后采用 Western blot 法检测 RhoA、ROCK2 蛋白表达。结果 与正常组比较,模型组小鼠体质量 和 FBG 水平升高 (P<0.01), 大脑皮质血脑屏障紧密连接受损, Claudin-5、ZO-1 表达降低 (P<0.01), 血管外渗 IgG 表达升高(P<0.01), RhoA、ROCK2蛋白表达升高(P<0.05);与模型组比较,二甲双胍组和交泰丸组小鼠体质量 和 FBG 水平降低 (P<0.05), 大脑皮质血脑屏障紧密连接形态改善, 且 Claudin-5 和 ZO-1 表达升高 (P<0.05), 血管 外渗 IgG 表达降低 (P<0.01),RhoA、ROCK2 蛋白表达降低 (P<0.05)。结论 交泰丸能够改善高脂饮食诱导肥胖小 鼠大脑皮质中紧密连接结构和血脑屏障功能,其机制与抑制 RhoA/ROCK2 信号通路有关。

关键词: 交泰丸; 高脂饮食; 糖尿病; 血脑屏障; 紧密连接; RhoA/ROCK2

中图分类号: R285.5 文献标志码:B

doi:10.3969/j.issn.1001-1528.2024.06.048

文章编号: 1001-1528(2024)06-2058-05

进食高脂饮食会导致肥胖症及高血糖、高血脂、胰岛 素抵抗等相关代谢性疾病的发生[1]。高血糖会破坏血脑屏 障 (blood brain barrier, BBB)^[2], 而修复损伤的 BBB 对于 保护神经元有积极作用,可确保大脑发挥调节代谢的功 能[3]。BBB 由脑微血管内皮细胞(brain microvascular endothelial cells, BMECs) 及其间紧密连接 (tight junctions, TJs)、基底膜、星形胶质细胞终足和周细胞组成[4], 其通 过调节血液和大脑之间的离子、分子和细胞的运动、阻隔 血液中有害物质进入脑实质,从而维持脑内环境稳定[5-7]。 生理条件下, TJs 蛋白 Claudins 通过多个闭锁小带蛋白 (zonula occludens, ZOs) 固定在肌动蛋白细胞骨架上,它 们之间的动态相互作用对维持 BBB 的完整性至关重要[8]。 《素问·奇病论》提出过食肥甘、中满内热是消渴病发生的 核心病机,过量进食高脂饮食导致肠道湿热应属于糖尿病 前期。交泰丸由黄连、肉桂组成,其"清心泻火、交通心 肾"之功与消渴病心火炽盛、心肾失调的病机十分吻 合^[9]。Rho GTP 酶属于 Ras 超家族, 其激活下游 ROCK 后 通过级联反应改变了 TJs 的结构,影响了血管通透性等多 种生理功能,这与糖尿病的众多并发症有关[10]。因此,本

研究以高脂饮食诱导建立肥胖小鼠模型, 探究交泰丸对肥 胖小鼠血脑屏障损伤的改善作用及作用机制。

1 材料

1.1 药物 黄连、肉桂颗粒剂 (黄连产地四川, 批号为 21010851,每1g相当于生药量6g;肉桂产地广西,批号 为 21015423, 每 1 g 相当于生药量 6 g), 购自江阴天江药 业有限公司, 黄连、肉桂颗粒以10:1比例溶于蒸馏水中, 制得交泰丸溶液、置于4℃冰箱保存备用。盐酸二甲双胍 片(规格 0.5 g, 批号 ABX1849), 购自中美上海施贵宝制 药有限公司。

1.2 试剂 RhoA 单克隆抗体、辣根过氧化酶标记的 IgG 抗体、ProLong® Gold Antifade Reagent (货号 2117、7074、 9071S), 均购自美国 Cell Signaling Technology 公司; 重组 Anti-ROCK2 抗体 (货号 ab125025), 购自英国 Abcam 公 司; ZO-1、Claudin 5 单克隆抗体(货号 617300、352588), 均购自美国 Thermo Fisher Scientific 公司; CD31 单克隆抗体 (货号553370),购自美国BD公司;BCA蛋白定量试剂盒、 蛋白上样缓冲液 (5×)、彩色预染蛋白分子量标准 (6.5~ 270 kDa)、FITC 标记山羊抗兔 IgG 抗体、Cy3 标记山羊抗

收稿日期: 2023-03-13

基金项目: 上海中医药大学预算内项目 (2020LK009, 2021LK038)

作者简介: 王啸南 (1998--), 男, 硕士生, 从事中医药治疗糖尿病及其并发症的相关研究。Tel: (027) 51322374, E-mail: wxn123212021@ 163.com

* 通信作者: 陆 雄 (1965—), 男, 博士, 研究员, 从事中医药治疗糖尿病及其并发症的相关研究。Tel: (027) 51322374, E-mail: xionglu93@126.com

网络出版日期: 2023-04-18

网络出版地址: http://kns.cnki.net/kcms/detail/31.1368. R. 20230417.1643.002. html.

大鼠 IgG 抗体、FITC 标记山羊抗小鼠 IgG 抗体、超敏 ECL 化学发光试剂盒、免疫染色封闭液、免疫染色一抗稀释液、免疫染色二抗稀释液(货号 P0010S、P0015L、P0072、A0562、A0567、A0568、P0018、P0102、P0103、P0108),均购自上海碧云天生物技术有限公司; DEXTRAN70 右旋糖苷(货号 31390),购自美国 Sigma-Aldrich 公司; RIPA 裂解液(货号 WB0102),购自上海威奥生物科技有限公司。

- 1.3 动物 60 只 SPF 级雄性 C57BL/6J 小鼠, 5 周龄, 体质量 21~25 g, 由上海斯莱克实验动物有限责任公司提供,实验动物生产许可证号 SCXK (沪) 2017-0005, 质量合格证号 20170005048390。小鼠饲养于上海中医药大学动物实验中心 SPF 级实验室,自由摄食与饮水。动物实验经上海中医药 大学实验 动物伦理委员会批准(伦理号PZSHUTCM210312014)。
- 1.4 仪器 SPECTRA MAX190 型酶标仪 (美国 Molecular Devices 公司); AI600 型超灵敏多功能成像仪 (美国 GE 公司); 冰冻切片机 (德国 Microm 公司); 激光共聚焦显微镜 (德国 Leica 公司)

2 方法

- 2.1 小鼠肥胖模型建立 C57BL/6J 小鼠适应性喂养 3 周 后,随机分为正常组 (15 只) 和造模组 (45 只),正常组以常规鼠饲料喂养,造模组以高脂饲料 (主要成分配比蛋白质 20.0%,碳水化合物 19.1%,脂肪 59.9%,维生素1%)喂养,自由进食水,8 周后,称定小鼠体质量,以造模组小鼠体质量高于正常组平均体质量的 20%,视为小鼠肥胖模型建立成功。
- 2.2 分组与给药 将造模成功的小鼠随机分为模型组、二甲双胍组和交泰丸组,每组15只。根据《韩氏医通》记载及前期研究结果,交泰丸组灌胃给予8.36g/kg交泰丸溶液;二甲双胍组灌胃给予250mg/kg盐酸二甲双胍片溶液;正常组和模型组灌胃给予生理盐水,每天1次,连续4周,给药期间各组继续给予常规鼠饲料或高脂饲料饲养。
- 2.3 样本采集 给药 4 周后,小鼠禁食不禁水 12 h,称重后尾静脉取血,检测空腹血糖 (fasting blood glucose,FBG)。小鼠麻醉后,其中 5 只经左心室灌流磷酸缓冲液 (Phosphate buffered saline, PBS),取脑,于液氮速冻后移至-80 ℃冰箱保存;4 只经左心室灌流 PBS 和 4%多聚甲醛,取脑组织,于 4%多聚甲醛固定液中固定,于 4 ℃冰箱保存;另外 6 只小鼠取大脑用于电镜观察 (另发文)。
- 2.4 血管分离 取于-80 ℃冰箱中保存的小鼠脑组织,转移至冰上解冻,在含 2% 胎牛血清(FBS)的冷 PBS 中去除脑膜,分离脑皮质并将其切碎,用含 2% FBS 的 PBS 和玻璃均质器均质,加入 16% 右旋糖酐,混匀,6 000 r/min 离心15 min,收集沉底的微血管颗粒,并依次通过 100、40 μm细胞过滤器过滤,在 PBS 中收集 40 μm 细胞过滤器上残留的毛细血管,用于后续 Western blot 检测。

- 2.5 免疫荧光染色观察脑皮质 TJs 蛋白 Claudin-5、ZO-1 以及血管外渗 IgG 表达 取固定于 4% 多聚甲醛的小鼠脑组织,30% 蔗糖脱水,冷冻包埋剂包埋,30 μm 连续冰冻切片,PBS 清洗 3 次,免疫染色封闭液室温封闭 1 h,加一抗(1:250,免疫染色—抗稀释液稀释)4℃ 摇床孵育过夜,PBS 清洗 3 次,加二抗(1:500,免疫染色—抗稀释液稀释)室温避光摇床孵育 2 h,PBS 清洗 3 次,滴上防淬灭封片剂后封片。激光共聚焦显微镜下观察并拍照,用 Image J软件分析荧光强度。
- 2.6 Western blot 法检测脑皮质分离血管 RhoA、ROCK2 蛋白表达 取 "2.4" 项下所得血管,加入 RIPA 裂解液,冰浴超声提取总蛋白,BCA 法检测蛋白浓度。采用 SDS-PAGE 凝胶电泳分离等量蛋白样本,随后转移至 PVDF 膜上,用含 5% 脱脂奶粉的 TBST 封闭 1 h,加入一抗(1:1000)4℃ 孵育过夜,TBST 清洗后,加入二抗(1:3000)室温孵育 1 h,滴加 ECL 化学发光试剂,成像仪成像后用 Image J 软件分析条带灰度值,以β-actin 为内参计算目的蛋白相对表达。
- 2.7 统计学分析 通过 GraphPad Prism 9.5.0 软件进行处理, 计量资料以 $(\bar{x}\pm s)$ 表示, 多组间比较采用单因素方差分析。P<0.05 表示差异具有统计学意义。

3 结果

3.1 高脂饮食诱导的肥胖小鼠模型评价 如表 1 所示,高脂饮食喂养 8 周后,与正常组比较,造模组小鼠体质量、FBG 水平升高均升高 (P<0.01),且体质量高于正常组的20%,表明小鼠肥胖模型建立成功。

表 1 造模后小鼠体质量、FBG 水平比较 $(\bar{x}\pm s)$

组别	动物数/只	体质量/g	FBG/(mmol·L ⁻¹)
正常组	15	31. 79±0. 63	4.79±0.09
造模组	45	45. 55±1. 74 ^{##}	8. 11±0. 33 ^{##}

注: 与正常组比较,##P<0.01。

3.2 交泰丸对肥胖小鼠体质量和 FBG 水平的影响 如表 2 所示,与正常组比较,模型组小鼠体质量、FBG 水平均升高 (P<0.01);与模型组比较,二甲双胍组和交泰丸组小鼠体质量、FBG 水平均降低 (P<0.05)。

表 2 各组小鼠体质量、FBG 比较 ($\bar{x}\pm s$, n=15)

组别	体质量/g	FBG/(mmol·L ⁻¹)
正常组	31. 79±0. 63	4. 79±0. 09
模型组	45. 55±1. 74 ^{##}	8. 11±0. 33 ^{##}
二甲双胍组	40. 83±1. 80 *	4. 41±0. 27 *
交泰丸组	43. 16±1. 73 *	6. 91±0. 45 *

注:与正常组比较, ##P<0.01;与模型组比较, *P<0.05。

3.3 交泰九对肥胖小鼠脑皮质 BBB 紧密连接的影响 如图 1、表 3 所示,与正常组比较,模型组小鼠脑皮质 TJs 蛋白 Claudin-5 与 ZO-1 荧光分布中断、血管样结构明显消失,荧光强度减弱 (P<0.01);与模型组比较,二甲双胍组与交泰 丸组 小鼠脑 皮质 TJs 蛋白荧光恢复血管样排列,Claudin-5 与 ZO-1 荧光强度增强 (P<0.05)。

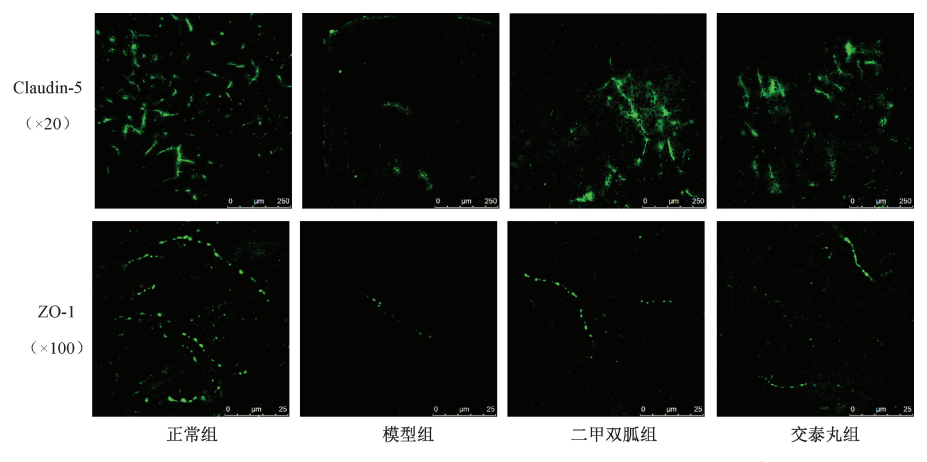


图 1 各组小鼠脑皮质 TJs 蛋白 Claudin-5、ZO-1 免疫荧光染色

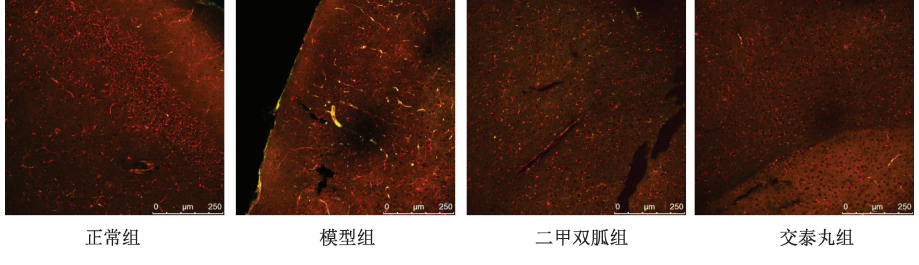
表 3 各组小鼠 TJs 蛋白 Claudin-5、ZO-1 荧光强度比较 $(\bar{x}\pm s, n=4)$

组别	Claudin-5 荧光强度	ZO-1 荧光强度
正常组	66. 49±4. 15	53. 84±2. 53
模型组	13. 16±1. 32##	8. 31±1. 44 ^{##}
二甲双胍组	28. 46±1. 64 *	21. 14±2. 45 *
交泰丸组	27. 32±3. 48 *	24. 34±3. 37 *

注: 与正常组比较, #P<0.01; 与模型组比较, *P<0.05。

3.4 交泰九对肥胖小鼠脑皮质 BBB 通透性的影响 如图 2、表 4 所示,正常组小鼠脑皮质镜下血管周围未见明显 IgG 荧光表达。与正常组比较,模型组小鼠脑皮质血管周围 IgG 荧光强度增强 (P<0.01);与模型组比较,二甲双胍组与交泰丸组小鼠脑皮质血管周围 IgG 荧光强度减弱 (P<0.01)。

3.5 交泰九对肥胖小鼠脑皮质血管 RhoA、ROCK2 蛋白表达的影响 如图 3 所示,与正常组比较,模型组小鼠脑皮



注: 红色为 CD31 阳性, 绿色为 IgG 阳性。

图 2 各组小鼠脑皮质血管外渗 IgG 免疫荧光染色 (×20)

表 4 各组小鼠脑皮质血管外渗 IgG 免疫荧光强度比较 $(\bar{x}\pm s, n=4)$

组别	IgG 荧光强度
正常组	2. 28±0. 12
模型组	27. 82±2. 48 ^{##}
二甲双胍组	5. 46±0. 23 **
交泰丸组	9. 15±0. 61 **

注:与正常组比较, ***P<0.01;与模型组比较, ***P<0.01。 质血管 RhoA、ROCK2 蛋白表达升高(P<0.01);与模型组 比较,二甲双胍组与交泰丸组小鼠脑皮质血管 RhoA、 ROCK2 蛋白表达降低(P<0.01)。

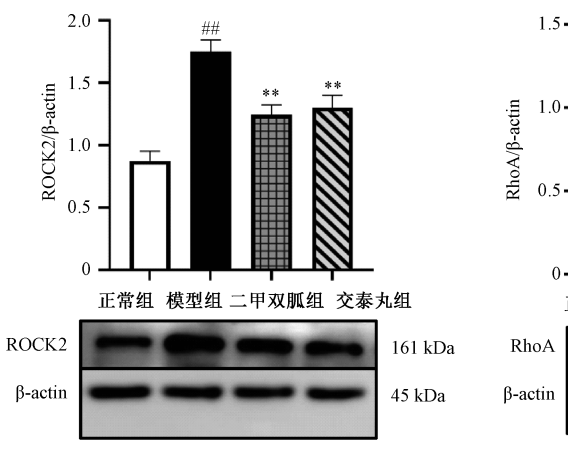
4 讨论

好食肥甘厚腻的不良饮食习惯被认为是肥胖和 2 型糖尿病的触发因素^[11]。目前,常以高脂饲料喂养 C57BL6 小鼠制备肥胖、糖尿病前期代谢综合征动物模型^[12-13]。与之前研究一致,本研究中模型组小鼠体质量、FBG 水平较正常组升高,提示代谢受损。

BBB 结构与功能的完整性是脑内环境稳态的重要保障。

BMECs 通过 TJs 蛋白所构成的 TJs 结构相互联系,这是构成 BBB 的基础^[14], TJs 蛋白的丢失可导致进行性神经变性^[15]。高脂饮食所诱导的高血糖与 BBB 系统损伤密切相关^[16]。本研究通过免疫荧光染色观察高脂饮食诱导肥胖小鼠脑皮质 BBB 系统的 2 种主要 TJs 蛋白 ZO-1、claudin-5,发现模型组小鼠脑皮质 TJs 蛋白荧光分布中断、血管样结构明显消失且荧光强度减弱,证实高脂饮食对 TJs 结构造成破坏。当 BBB 的 TJs 蛋白损伤时,血浆中的小分子会率先渗漏到脑实质中,导致 BBB 结构进一步的破坏和更大分子的渗漏,最终使得脑部功能紊乱^[17]。本研究免疫荧光共染结果显示,模型组小鼠脑皮质血管周围出现了正常组小鼠中未见的 IgG 荧光表达,提示 BBB 屏障功能受损,也从侧面反映 BBB 结构损伤。

RhoA 是 Rho GTP 酶中最主要的成员之一, ROCK 是目前研究最多的 Rho 下游分子, 并且脑中以 ROCK2 亚型高表达。激活的 Rho 与下游 ROCK 结合后会使肌球蛋白轻链激酶活化,上调肌球蛋白轻链的磷酸化水平,在诱导细胞骨架重组和应力纤维形成的同时还可以磷酸化 TJs 蛋白[18-19]。



注: 与正常组比较, ##P<0.01; 与模型组比较, ** P<0.01。

图 3 各组小鼠脑皮质血管 RhoA、ROCK2 蛋白表达 ($\bar{x}\pm s$, n=5)

这使得 TJs 蛋白的空间分布发生变化,血脑屏障通透性增加^[20]。本研究发现,与正常组比较,模型组小鼠脑皮质血管中 RhoA、ROCK2 蛋白表达升高,提示 Rho/ROCK 信号通路被活化。

交泰丸由黄连、肉桂组成,黄连为苦寒药,主人心、大肠经,多用于清热泻火;肉桂性味甘辛大热,主入肾经,引药下行,以温补肾阳之不足,两药配伍达到"交通心肾"的功效,其用药理论与消渴病心火炽盛、心肾失调的病机吻合。本研究结果显示,经交泰丸干预后,肥胖小鼠体质量与 FBG 水平均降低。黄连与肉桂中的多种成分均已经被证明能改善 BBB 损伤,并且与 Rho/ROCK 信号通路的抑制有关^[21]。本研究结果显示,经交泰丸干预后,肥胖小鼠受损的 TJs 蛋白恢复血管样排列且荧光强度增强,同时血管外渗 IgG 表达降低,伴随着脑皮质血管 RhoA 与 ROCK2 蛋白表达降低,提示交泰丸能逆转高脂饮食带来的 BBB 结构与功能损伤,并抑制 Rho/ROCK 信号通路。

综上所述,本研究证实了交泰丸可以改善高脂饮食导致的肥胖小鼠代谢损伤与 BBB 结构功能破坏,其作用机制可能与抑制 Rho/ROCK 信号通路有关。

参考文献:

- [1] Canfora E E, Meex R C R, Venema K, et al. Gut microbial metabolites in obesity, NAFLD and T2DM [J]. Nat Rev Endocrinol, 2019, 15(5): 261-273.
- [2] Sharma H S, Patnaik R, Sharma A. Diabetes aggravates nanoparticles induced breakdown of the blood-brain barrier permeability, brain edema formation, alterations in cerebral blood flow and neuronal injury. An experimental study using physiological and morphological investigations in the rat [J]. J Nanosci Nanotechnol, 2010, 10(12): 7931-7945.
- [3] Ning R, Chopp M, Zacharek A, et al. Neamine induces neuroprotection after acute ischemic stroke in type one diabetic rats [J]. Neuroscience, 2014, 257; 76-85.
- [4] Pinchi E, Frati P, Arcangeli M, et al. MicroRNAs: The new challenge for traumatic brain injury diagnosis [J]. Curr

- Neuropharmacol, 2020, 18(4): 319-331.
- [5] Ding G F, Shao Q Y, Yu H Y, et al. Tight junctions, the key factor in virus-related disease [J]. Pathogens, 2022, 11 (10): 1200.
- [6] Constant O, Maarifi G, Barthelemy J, et al. Differential effects of Usutu and West Nile viruses on neuroinflammation, immune cell recruitment and blood-brain barrier integrity [J]. Emerg Microbes Infect, 2023, 12(1): 2156815.
- [7] Ramasubramanian B, Reddy V S, Chellappan V, et al.

 Emerging materials, wearables, and diagnostic advancements in therapeutic treatment of brain diseases [J]. Biosensors (Basel), 2022, 12(12); 1176.
- [8] Scalise A A, Kakogiannos N, Zanardi F, et al. The blood-brain and gut-vascular barriers; from the perspective of claudins [J]. Tissue Barriers, 2021, 9(3): 1926190.
- [9] Knox E G, Aburto M R, Clarke G, et al. The blood-brain barrier in aging and neurodegeneration [J]. Mol Psychiatry, 2022, 27(6): 2659-2673.
- [10] 王雪萍, 张皓月, 王 婷, 等. 交泰丸中小檗碱联合 cinnamtannin D1 的降血糖作用[J]. 中成药, 2018, 40(12): 2613-2618.
- [11] 韩佳寅,易 艳,梁爱华,等. Rho/ROCK 信号通路研究进展[J]. 药学学报, 2016, 51(6): 853-859.
- [12] Guo S, Nighot M, Al-Sadi R, et al. Lipopolysaccharide regulation of intestinal tight junction permeability is mediated by TLR4 signal transduction pathway activation of FAK and MyD88 [J]. J Immunol, 2015, 195(10): 4999-5010.
- [13] 董明,刘东,梁运海,等高脂饮食喂养肥胖模型小鼠的构建:分析营养因素和代谢综合征的关系[J].中国组织工程研究,2015,19(40):6542-6546.
- [14] 郭 妍, 迟晓丽, 马 渊, 等. 六味地黄汤活性成分组方 LW-AFC 对高热量饲料诱导小鼠代谢综合征的改善作用 [J]. 中国药理学与毒理学杂志, 2013, 27(3); 367-373.
- [15] Greene C, Hanley N, Campbell M. Claudin-5: gatekeeper of neurological function [J]. Fluids Barriers CNS, 2019, 16 (1): 3.
- [16] Wu J, Zhao Y, Fan Z, et al. Soluble epoxide hydrolase

inhibitor protects against blood-brain barrier dysfunction in a mouse model of type 2 diabetes via the AMPK/HO-1 pathway [J]. Biochem Biophys Res Commun, 2020, 524 (2): 354-359.

- [17] Chen X, Gawryluk J W, Wagener J F, et al. Caffeine blocks disruption of blood brain barrier in a rabbit model of Alzheimer's disease [J]. J Neuroinflammation, 2023, 20(1): 40.
- [18] 薛文静,杨一格,柴若宁,等. Rho/ROCK 信号通路与炎症 细胞因子的研究进展[J]. 心脏杂志, 2023, 35(1): 94-98.
- [19] Xie X, Chang X, Chen L, et al. Berberine ameliorates

- experimental diabetes-induced renal inflammation and fibronectin by inhibiting the activation of RhoA/ROCK signaling [J]. Mol Cell Endocrinol, 2013, 381(1-2): 56-65.
- [20] Feng S, Zou L, Wang H J, et al. RhoA/ROCK-2 pathway inhibition and tight junction protein upregulation by catalpol suppresses lipopolysaccaride-induced disruption of blood-brain barrier permeability[J]. Molecules, 2018, 23(9): 2371.
- [21] Kim Y, Cho A Y, Kim H C, et al. Effects of natural polyphenols on oxidative stress-mediated blood-brain barrier dysfunction [J]. Antioxidants (Basel), 2022, 11(2): 197.

基于 Raf/MEK/ERK 信号通路探讨内异康复片对 hEM15A 细胞的影响

周奕含. 庞丽丽. 杨 唯, 尹小兰. 张 颖. 张丽叶. 文 怡* (成都中医药大学附属医院,四川 成都 610072)

摘要:目的 探讨内异康复片对子宫内膜异位症(EMT)内膜间质细胞 hEM15A 的影响。方法 制备内异康复片含药 血清,将 hEM15A 细胞分为空白对照组,阴性对照组,5%、10%、20%含药血清组。采用 CCK-8 法检测细胞活性,流 式细胞仪检测细胞凋亡, Transwell 法检测细胞迁移, Western blo 法检测 RKIP 及 Raf/MEK/ERK 通路相关蛋白表达。 再将 hEM15A 细胞分为阴性对照组、10% 含药血清组、si-RKIP-1 组、si-RKIP-1+10% 含药血清组,观察上述检测指标 的变化。结果 与阴性对照组比较,各浓度含药血清组 hEM15A 细胞活性降低 (P<0.05),凋亡率、RKIP 蛋白表达 升高(P<0.05);10% 及 20% 含药血清组 hEM15A 细胞迁移数、p-MEK 及 p-ERK1/2 蛋白表达降低(P<0.05),p-Raf 蛋白表达降低 (P<0.05)。与阴性对照组比较,si-RKIP-1 组 hEM15A 细胞活性、迁移数升高 (P<0.05),RKIP 蛋白 表达降低 (P<0.05), p-Raf、p-ERK1/2、p-MEK 蛋白表达升高 (P<0.05); 与 10% 含药血清组比较, si-RKIP-1+10% 含药血清组 hEM15A 细胞活性、迁移数升高 (P<0.05), 凋亡率降低 (P<0.05), RKIP 蛋白表达降低 (P<0.05), p-Raf、p-MEK、p-ERK1/2 蛋白表达升高 (P<0.05)。结论 内异康复片可能通过调节 RKIP 及其介导的 Raf/MEK/ERK 信号通路抑制 hEM15A 细胞活性和迁移,促进 ESC 凋亡,发挥改善 EMT 的作用。

关键词:内异康复片;子宫内膜异位症;Raf 激酶抑制蛋白(RKIP);Raf/MEK/ERK 信号通路

中图分类号: R285.5

文献标志码:B

文章编号: 1001-1528(2024)06-2062-07

doi:10.3969/j.issn.1001-1528.2024.06.049

子宫内膜异位症 (endometriosis, EMT) 多发于育龄期 女性[1],严重危害着女性的生殖健康和生活质量,其发病 机制尚不明确。目前存在手术治疗后易复发、术后盆腔粘 连,且激素治疗存在副作用较大、疗效难以持久、不能同 时兼顾妊娠需求等问题。在长期的临床实践中发现, 中医 药治疗 EMT 在缓解痛经、控制病灶生长、提高妊娠率等 方面有较好的疗效, 其机制研究已经成为妇科领域的 热点。

内异康复片是成都中医药大学附属医院的院内制剂,

已应用于临床十数年并取得了良好的疗效[2]。前期研究发 现, Ras 蛋白在模型小鼠在位及异位内膜中的表达升高, 且经过内异康复片干预后表达下降[3-4]。而目前已有研究证 实 Ras/Raf/MEK/ERK 信号通路受 Raf 激酶抑制蛋白 (Raf kinase inhibitory protein, RKIP)调控[5]。本研究通过观察 内异康复片含药血清干预后, EMT 子宫在位内膜间质细胞 hEM15A活性、迁移、凋亡的变化,及RKIP与Raf/MEK/ ERK 信号通路相关蛋白的表达变化, 探讨内异康复片治疗 EMT 的分子生物学机制。

收稿日期: 2023-06-15

基金项目:成都中医药大学"杏林学者"人才科研提升计划项目(XSGG2019018);成都中医药大学附属医院科技发展基金项目 (18PY02, 20-Y09)

作者简介: 周奕含 (1994—), 女,硕士,从事中医药防治妇科痛症、炎症性疾病研究。Tel: 19953688613, E-mail: 563256204@ qq.com *通信作者: 文 怡 (1978—), 女 (满族), 博士, 副教授, 从事中医药防治妇科痛症、炎症性疾病研究。Tel: 13094431644, E-mail: wenyi@ cdutcm. eud. cn